

## دراسة تآكل حديد الصب الكرافتي البيرلايت في التربة الرملية

صحي إسماعيل إبراهيم عبد الحق عبد القادر حامد سبهان حامد علي الرفاعي  
أستاذ مساعد مدرس طالب ماجستير  
قسم الهندسة الميكانيكية/كلية الهندسة/جامعة الموصل

### الخلاصة

إن تعدد الاستخدامات الصناعية والهندسية لأنواع حديد الصب الكرافتي ، وتأثرها بأوساط التآكل المختلفة من المبررات التي تدعو لدراسات وبحوث علمية لمعرفة مدى تأثير أوساط التآكل ، وخاصة المحلية منها في هذه الأنواع مما يجعل اختيار النوع المناسب من حديد الصب معتمدا على نتائج بحوث ذات طابع علمي معتمد . وقد أجري في هذا البحث اختبارات مكثفة لأكثر أنواع حديد الصب الكرافتي أهمية واستخداماً في التطبيقات المختلفة باستخدام التربة الرملية كوسطاً للتأكل .

لقد أظهرت النتائج وجود علاقة بين معدل تآكل حديد الصب الكرافتي مع شكل ونوع الكرافيت المتواجد فيه . وتبيّن أن الشكل الشرائحي يسبب معدلات تآكل أعلى مما يسببه شكل الكرافيت الكروي أو الكرافيت الزهرى . وأظهرت النتائج أن حديد الصب الكروي الكرافتي يتآكل بمعدلات مقاربة أو أعلى بقليل من معدلات تآكل حديد الصب الزهرى الكرافيت ، في حين أن حديد الصب الرمادي تميز بأعلى معدلات التآكل .

الكلمات الدالة: التآكل، حديد الصب، التربة الرملية.

## Studying the Corrosion of Graphite Containing pearlitic Cast Irons in Sandy Soil

Sobhi I. Ibrahim Abdulhaqq A. Hamid Sabban H. AL-Rifay  
Assistant Professor      Lecturer      M.Sc. Student  
Mechanical Dept.-College of Engineering-Mosul University

### Abstract

Wide range of industrial and engineering applications for graphite containing cast irons and the harmful effects of corrosion environments on these important engineering materials, make it necessary for continuous Scientific research in this field . In the current study, performed corrosion tests on Pearlitic cast irons using the sandy soil as the corrosion environment .

The results obtained show a clear relationship between corrosion rate of graphite containing cast iron with shape of graphite. The graphite flakes in cast iron appeared to cause high corrosion rates compared with spheroidal or rosette graphites . The results also show that corrosion rates of spheroidal cast iron are slightly higher than malleable cast iron. The corrosion rates of grey cast iron represent the highest when compared with those of spheroidal and malleable cast iron.

**Keywords:** Corrosion, Cast Iron, Sandy Soil

يعرف التآكل (Corrosion) بأنه ثف المعدن نتيجة تفاعل كيميائياً أو كهروكيمياً مع الجو أو وسط التآكل المحيط به . إن السبب الأساسي لتآكل المعادن واختلاف معدلات التآكل بين معدن وأخر يعود إلى طبيعة منشأ هذه المعادن أو أصولها. إن معظم المعادن وخاصة المعادن غير النبيلة ، مثل الحديد والزنك لا تتوارد في الطبيعة كمعدن نقى (Pure Metal) ولكن توجد على شكل مركبات كيميائية ، مثل الأكسيد والكريبونات والكبريتات والتي تسمى بخامات هذه المعادن . ولدى استخلاص المعادن من هذه الخامات لابد من بذل مقدار معين من الطاقة لتحرير هذه المعادن ، وبذلك فان المعادن المستخلص سوف يكون محبراً على التوارد في حالة غير مستقرة تختلف عن الحالة المستقرة التي كان عليها في الطبيعة ، لذا فإنه يميل إلى ترك هذه الحالة الجديدة المفروضة عليه والعودة إلى الأصل ، أي إلى الخام ، وهذه العملية تسمى بالتأكل ، فعلى سبيل المثال ، الحديد يتواجد في الطبيعة على شكل اوكسيد الحديد في معظم الحالات لذا نجد إن الحديد عندما يتآكل فإنه يتتحول إلى اوكسيد الحديد أو خليط من اكسيد الحديد المختلفة [1] .

إن للتآكل علاقة وثيقة بنوعية المادة المعرضة للتآكل وببنوعية الوسط المسبب للتآكل (Corrosion Environment) . وهناك عدد كبير من الأوساط المساعدة على التآكل والتي تظهر فيها أنواع مختلفة من التآكل ، لعل أهم تلك الأوساط المحيط الجوي والماء والتربة . ولدى إجراء الفحوصات والاختبارات الخاصة بظاهرة التآكل في وسط ما ولمعدن معين ، لابد أولاً من التحليل الدقيق لكل من الوسط والمعدن ، وذلك لغرض تحديد نوع التآكل الذي سوف يسببه ، وبناء عليه يجري استنتاج الطرق الكفيلة للحماية منه [2] . وفي هذا البحث تمت دراسة تآكل حديد الصب الكرافتي البير لايتي في التربة الرملية والذي شمل حديد الصب الرمادي (Pearlitic grey cast iron) وحديد الصب الزهري الكرافتي البير لايتي (Pearlitic malleable cast iron) وحديد الصب الكروي الكرافتي البير لايتي (Pearlitzoidal cast iron) . والهدف من هذا البحث هو محاولة معرفة مدى تأثير شكل ونوع الكرافتي على معدل تآكل حديد الصب الكرافتي البير لايتي في التربة الرملية . لقد اختير حديد الصب الكرافتي البير لايتي لما لهذا النوع من مقاومة ضعيفة للتآكل ، وذلك للتمكن من الحصول على معدلات تآكل عالية نسبياً خلال مدة البحث المحددة بالأشهر . كون التركيب البير لايتي هو تركيب مجيري ثنائي الأطوار من الفيرايتس والسمنتايت (Ferrite + Cementite) والذي يعكس أفضل تركيب للخلايا الكلفانية الممثلة بقطب الانود وهو السمنتايت وقطب الكاثود وهو الفيرايتس ، والذي يؤدي إلى تعجيل التآكل مقارنة بالتركيب الأخرى والمتمثل بـ (البير لایت + الفيرایت + السمنتایت) .

### الدراسات السابقة

هناك العديد من الدراسات والبحوث تناولت دراسة تآكل حديد الصب الكرافتي ومسبياته ، وكيفية السيطرة عليه . فقد ذكر الباحث (Fuller, 1981) [3] في دراسته أن حديد الصب الكروي الكرافتي البير لايتي أقل تعرضاً للتآكل الموقعي مقارنة بحديد الصب الرمادي البير لايتي ، وذلك بسبب انتشار التآكل على سطح المعدن والذي يعود إلى التركيب الكروي للكرافتي . كما أجرى الباحث (LaQue, 1995) [4] مقارنة لمقاومة التآكل بين حديد الصب الرمادي وحديد الصب الكروي الكرافتي . وقد ذكر هذا الباحث أن مقاومة التآكل لحديد الصب الكروي الكرافتي البير لايتي أفضل من مقاومة التآكل لحديد الصب الرمادي البير لايتي تحت نفس الظروف البحثية ، وعل ذلك إلى ارتباط وتدخل شرائح الكرافتي في حديد الصب الرمادي والتي تسبب أكبر عمق (Depth) لنغلق التآكل على طول حدود شرائح الكرافتي ، فيما إذا قورنت بحديد الصب الكروي الكرافتي .

في حين قام الباحث (Owate, 2002) [5] وزملاؤه بدراسة لإيجاد معدلات التآكل لخزانات الوقود المصنوعة من حديد الصب الكروي الكرافتي الفيرائي والمدفونة في التربة بعمق (4m) تحت ظروف مختلفة للوسط . إذن دراسة بعض الظروف المختلفة للتربة وتتأثيرها في معدلات تآكل حديد الصب ، كالمقاومة النوعية (Resistivity) ، وطبيعة التربة فيها إذا كانت حامضية (Acidic) أو قلوية (Alkaline) أو متعادلة (Neutral) . وبعد فترات تعرض مختلفة للتآكل باستخدام طريقة الفقدان في الوزن تم إيجاد معدلات التآكل بوحدة (mpy) . وقد لوحظ بأن معدلات التآكل لخزانات التي تم تغطيتها بمادة السليفون (Cellophane) هي أقل نسبياً من معدلات تآكل الخزانات التي تم تغطيتها مباشرة إلى التربة خلال الظروف المختلفة . واستنتج الباحثون أن معدلات التآكل للخزانات المدفونة في التربة ذات الظروف الحامضية أكثر من تلك الخزانات المدفونة في التربة ذات الظروف القلوية أو المتعادلة . وقد لاحظوا أيضاً أنه كلما قل المحتوى المائي للتربة أدى إلى زيادة المقاومة النوعية للتربة .

تبين من عرض البحث السابقة أن عدداً من الباحثين قد أجروا دراسات لاختبار التآكل غير أن البحث الذي تدرس تأثير شكل الكرافتي في مقاومة التآكل فإن عددها محدود نسبياً . ومن خلال البحوث المتوفرة لم يتم الحصول على

دراسة تشير إلى سلوك التآكل لحديد الصب الزهري الكرافتي خلال السنوات الماضية ، قد يعود سبب ذلك إلى كون حديد الصب الزهري الكرافتي يشبه إلى حد كبير حديد الصب الكروي الكرافتي في التطبيقات الهندسية ، وإلى كون حديد الصب الزهري الكرافتي يتم الحصول عليه في مراحل تصنيع أصعب مما هي لحديد الصب الكروي ، مما تؤدي إلى ارتفاع أسعاره وتحديد استعمالاته ، والذي يؤكد مدى أهمية هذه الدراسة وضرورة تشجيع ودعم الجوث في هذا المجال للوقوف على طبيعة التآكل لهذه الأنواع ، للمساعدة في إيجاد الآليات المناسبة للحد من التآكل والتقليل من أضراره .  
الجزء العلمي: يتضمن هذا الجزء المواد التي استخدمت في هذه الدراسة والتقنيات العملية والمخبرية وفيما يلي توضيحها:-

**أ – المواد (Materials)** : تم اختيار واستخدام ثلاثة أنواع من حديد الصب الكرافتي البيرلايت تختلف في نوع وشكل الكرافتي ، كما أن تركيب القاعدة (Matrix) لها هو من البيرلايت ، وهذه الأنواع هي :

- (1) حديد الصب الرمادي البيرلايت (Pearlitic Grey C.I.)
- (2) حديد الصب الكروي البيرلايت (Pearlitic Spheroidal C.I.)
- (3) حديد الصب الزهري البيرلايت (Pearlitic Malleable C.I.)

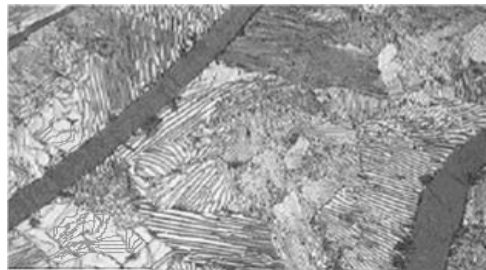
والجدول (1) يوضح التركيب الكيميائي (Chemical Composition) لأنواع المستخدمة في هذا البحث .

**الجدول (1) : يتضمن تحليل التركيب الكيميائي لأنواع حديد الصب الكرافتي البيرلايت المستخدمة في هذا البحث**

Chemical Composition (Weight %)	Types of cast iron		
	Pearlitic Gray C.I.	Pearlitic Spheroidal C.I.	Pearlitic Malleable C.I.
C	~ 4.65	3.61	3.72
Si	2.35	2.63	0.68
Mn	0.630	0.18	0.350
P	0.0440	0.0290	0.0940
S	~ 0.248	0.010	0.258
Cr	0.109	0.180	0.230
Ni	0.0380	0.0840	0.0350
Mo	0.00460	0.0301	0.0042
Al	0.00530	0.0110	0.0084
Cu	0.0920	0.173	0.0740
Fe	Balance	Balance	Balance

#### **ب – التقنيات العملية (Experimental Techniques)**

**1. الفحص المجهرى :** في بداية هذه الدراسة تم تحضير نماذج عديدة من حديد الصب الكرافتي للفحص المجهرى لغرض تحديد البنية المجهرية المطلوبة لأنواع حديد الصب الكرافتي في هذه الدراسة . وقد تم تحضير النماذج للفحص المجهرى حسب الطريقة القياسية لتحضير النماذج لتي شملت التدعيم (Grinding) باستخدام ورق الصقل بدرجات (1200,1000,500,220) وبالنسبة ، وبتها الصقل النهائي (Final Polishing) باستخدام ماكينة الصقل المنضدية (Rotary Polishing) انكلزية المنشأ . وكانت المادة المستخدمة في التدعيم هي الالومينا ، ثم عملية الإظهار باستخدام محلول النايتال (4 % Nital [7] . وقد فحصت النماذج باستخدام المجهر الميتاليرجي (Metallurgical Microscope) . كما يمكن ملاحظة الصور للبنية المجهرية لأنواع حديد الصب الكرافتي التي تم اختبارها في هذه الدراسة ، والمتمثلة في الأشكال (1 ، 2 ، 3) والتي تم التقاطها بواسطة المجهر ذي الكاميرا بالاستعانة بالحاسوب الشخصى .

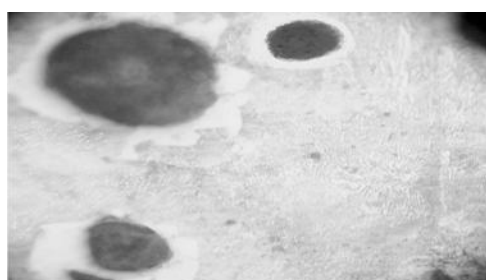


البنية المجهرية (X500) (Etched)

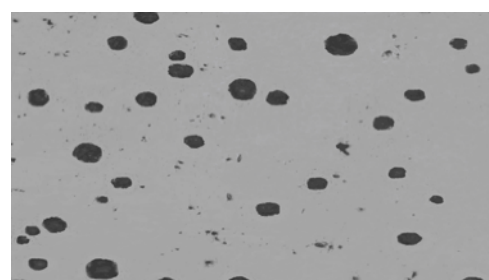


شكل الكرافيت الشرائي (X100) (Unetched)

الشكل (1): البنية المجهرية لحديد الصب الرمادي البيرلايتى



البنية المجهرية (X500) (Etched)

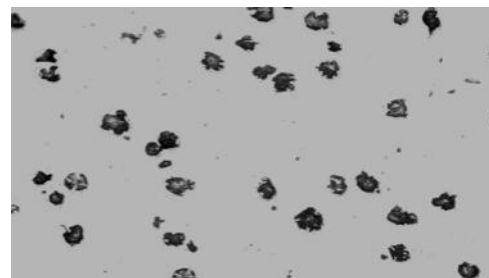


شكل الكرافيت الكروي (X100) (Unetched)

الشكل (2): البنية المجهرية لحديد الصب الكروي الكرافيت البيرلايتى



البنية المجهرية (X500) (Etched)



شكل الكرافيت الزهري (X100) (Unetched)

الشكل (3): البنية المجهرية لحديد الصب الزهري الكرافيت البيرلايتى



الشكل (5) : عينات من حديد الصب الكرافيتي المتأكلة في التربة الرملية



الشكل (4) : عينات من حديد الصب الكرافيتي قبل إجراء الاختبار

### 3. تهيئة نماذج الاختبار (Specimens Preparation) :

تم تهيئة عدد مناسب من النماذج لكل نوع من أنواع حديد الصب الكرافتي البيرلايت ، والتي وزعت على مسافات متساوية داخل وسط التآكل والمتمثل بالترابة الرملية ، حيث تم وضع نموذجين لكل نوع خلال أي فترة زمنية ، وذلك لحساب معدل الفقدان في الوزن لكلا النموذجين وأخذ المعدل النتائج . وقد تم جمع أنواع حديد الصب من بعض أجزاء السيارات والأنباب والعدد ، ثم أجريت عليها عمليات التشغيل الميكانيكي التي شملت القطع والتجليخ والتفريز ، إلى أن تم الحصول على جميع النماذج بشكل متوازي المستويات بمسافة (30×7) ملم . وبعد الانتهاء من الحصول على النماذج بالشكل والقياسات المطلوبة تم تهيئة السطوح بشكل متماثل والذي شمل التجليخ (Grinding) لإزالة الخشونة السطحية والزوايا الحادة ، كما تم ترقيم النماذج قبل وضعها في التربة ، والشكليين (4 ، 5) يوضحان عينات من حديد الصب الكرافتي البيرلايت قبل وبعد إجراء الاختبار .

#### الطريقة المستخدمة لإيجاد معدلات التآكل

تم التحضير لإيجاد معدل التآكل لحديد الصب الكرافتي على عدة مراحل ، هي :

**أ - إيجاد الفقدان في الوزن (Weight Loss Measurements)** : بعد إعداد النماذج بالشكل والحجم المطلوبين ، تم تنظيفها وتجفيفها قبل عملية الوزن ثم وزنت باستخدام ميزان حساس (Micro-Balance) (الماني المنشا) تبلغ حساسية الميزان فئة ( $1 \times 10^{-4}$ ) غم ، وبعد إكمال وزن النماذج تم وضعها في وسط التآكل لاختبارها . وعند انتهاء كل فترة اختبار ترفع النماذج المحددة لذلك الفترة من وسط التآكل ثم تتوقف من طبقات التآكل الناتجة باستخدام فرشاة ناعمة وماء أو لا ثم باستخدام محلول حامضي خاص لتنظيف الطبقات المتراكمة دون المساس بالمعدن وهو متكون من (500mL) (C.3.5) للمواصفات القياسية الاختبارية [8] ، بعد ذلك تغسل العينات مباشرة بالماء وتجفف بالأشعة فوق البنفسجية (Oven,Germany) بدرجة  $80^{\circ}\text{C}$  لمدة ساعة واحدة لضمان جفافها كلياً لاحتوائها على كرافيت والذي بطبيعته يمتص الماء ويحتفظ به [9] ، وبعدها يتم إعادة وزنها لإيجاد الوزن الجديد .

**ب - فترات الاختبار** : بدأ اختبار التآكل (وضع العينات في وسط التآكل) في يوم 21/2008 ، وقد تم تقسيم فترات الاختبار إلى خمس فترات زمنية طبقاً لعدد النماذج التي تم تهيئتها وهي :

- (1) الفترة الأولى : شهر (شباط) .
  - (2) الفترة الثانية : شهران (شباط + آذار) .
  - (3) الفترة الثالثة : ثلاثة أشهر (شباط + آذار + نيسان) .
  - (4) الفترة الرابعة : أربعة أشهر (شباط + آذار + نيسان + أيار) .
  - (5) الفترة الخامسة : خمسة أشهر (شباط + آذار + نيسان + أيار + حزيران) .
- ج - حساب الكثافة** : لإيجاد معدل التآكل لأنواع حديد الصب الكرافتي ولغرض زيادة الدقة في النتائج تم حساب الكثافة عملياً بدلاً منأخذها من جداول اعتماداً على مبدأ قاعدة أرخميدس وحسب المواصفة (ASTM-C373-88) ، وتم ذلك بوزن النماذج وهي في الهواء ، ثم أعادة وزنها وهي معلقة ومغمورة بالماء المقطر ، وباستخدام المعادلة (1) يتم حساب الكثافة لكل نوع [10]، كما أن وزن العينات تم باستخدام الميزان الحساس الذي ذكر سابقاً، ويمكن ملاحظة قيمة الكثافة المحسوبة لكل نوع في الجدول (2).

$$D = \frac{M_d}{M_w} D_w \quad (1)$$

D : الكثافة المحسوبة (المطلوبة) ( $\text{g/cm}^3$ )  
 $D_w$  : كثافة الماء = 1 ( $\text{g/cm}^3$ )  
 $M_w$  : وزن النموذج في الماء ( $\text{cm}^3$ )  
 $M_d$  : وزن النموذج في الهواء (g)

الجدول (2) : قيم الكثافة المحسوبة لأنواع حديد الصب الكرافيتي

Types of cast iron	Density (g/cm <sup>3</sup> )
Pearlitic Gray C.I.	7.1133
Pearlitic Spheroidal C.I.	7.1556
Pearlitic Malleable C.I.	7.1266

د - إيجاد معدل التآكل (Corrosion Rate) : تم حساب معدل التآكل لحديد الصب الكرافيتي حسب المواصفة القياسية للختارات التآكل (ASTM-G31-72) وذلك باستخدام العلاقة الآتية :-

$$\left[ \frac{534W}{DAT} \right] = \text{Corrosion rate ( mpy )} \quad \dots \dots \dots \quad (2)$$

(W) : فقدان في الوزن ( mg ) .

(T) : فترة الاختبار أي زمن التعرض للتآكل ( hours ) .

(A) : المساحة السطحية ( in<sup>2</sup> ) .

(mils) : تعادل inch 0.001 .

يتم تحديد معدل التآكل المقاس بوحدة ميلز / سنة (mils per year) من العلاقة المذكورة أعلاه بالاعتماد على الدالة الرئيسية لذلك ، وهي فقدان في الوزن في أثناء فترة الاختبار ، أما ثوابت الاختبار في هذه التجربة ، فهي كثافة المعدن والمساحة السطحية له [2,11] .

الترابة (Soil) : التربة المستخدمة في هذا البحث هي التربة الرملية ، ويمكن ملاحظة التحليل الكيميائي والفيزيائي وكذلك التحليل التركيبى لها في الجدولين (3) و (4) ، إذ تم حفر تجاويف بعمق (30) سم خلال هذه التربة ووضعت العينات داخل هذه التجاويف بشكل عمودي ومغمورة في التربة بشكل تام وموزعة بشكل منتظم ، إذ وضع عينتان داخل كل تجويف مع مراعاة وجود مسافة بين عينة وأخرى بمقدار 4 سم تقريباً . وفي بداية ونهاية فترة الاختبار الكلية تم إجراء التحليل الكيميائي للترابة وكذلك تم تحديد المحتوى المائي لها عملياً ، إضافة إلى قياس درجات الحرارة يومياً باستخدام محرار ذي محس معدنى ، والجدول (5) يبين معدل درجات الحرارة والمحتوى المائي للترابة في فترات الاختبار .

الجدول (3) : التحليل الكيميائي والفيزيائي للترابة المستخدمة كوسط للتآكل

Soil Quality Parameters	As Prepared	After 5 Months
Ec (µs/cm)	200	98
PH	8.44	8.72
Total Hardness mg/L	800	815
Calcium Hardness mg/L	720	740
Calcium (Ca <sup>+2</sup> ) mg/L	288.6	242
Magnesium (Mg <sup>+2</sup> ) mg/L	17.92	16.8
Chlorides (Cl <sup>-</sup> ) mg/L	43.98	25.7
Sulphates (SO <sup>-2</sup> )	215.22	432.6
HCO <sub>3</sub> <sup>-</sup>	205.3	211
Resistivity (Ω.cm)	5000	10204

#### الجدول (4) : تحليل مكونات التربة المستخدمة كوسط للتأكل

Contents analysis	% Sand	% Silt	% Clay
	85	10	5

#### الجدول (5) : نسبة المحتوى المائي ودرجة الحرارة

المحتوى المائي (%)	زمن التعرض (month)	نisan	أذار	شباط	أيار	حزيران
12	17	22	27	28		
32	27	24	19	13		معدل درجة الحرارة (°C)

#### النتائج والمناقشة

أ - شكل ونوع الكرافتي وتاثيره على التآكل في حديد الصب الكرافتي من أجل دراسة تأثير نوع وشكل الكرافتي في مقاومة التآكل في حديد الصب الكرافتي ، تم اختيار أنواع من حديد الصب الكرافتي ، يكون فيها الكرافتي إما على شكل شرائح (Flakes) ، كما في حديد الصب الرمادي ، أو يكون على شكل كرات (Spheroidal) ، كما في حديد الصب الكروي الكرافتي ، أو يكون على شكل عقد غير منتظمة أقرب لشكل الزهرة (Rosette) ، كما في حديد الصب الزهري الكرافتي . أجريت على هذه الأنواع سلسلة من اختبارات التآكل بتغيير فترة التعرض للتأكل . ويمكن ملاحظة النتائج التي تم التوصل إليها بعد انتهاء فترات الاختبار في الأشكال (6)،(7)،(8)،(9).

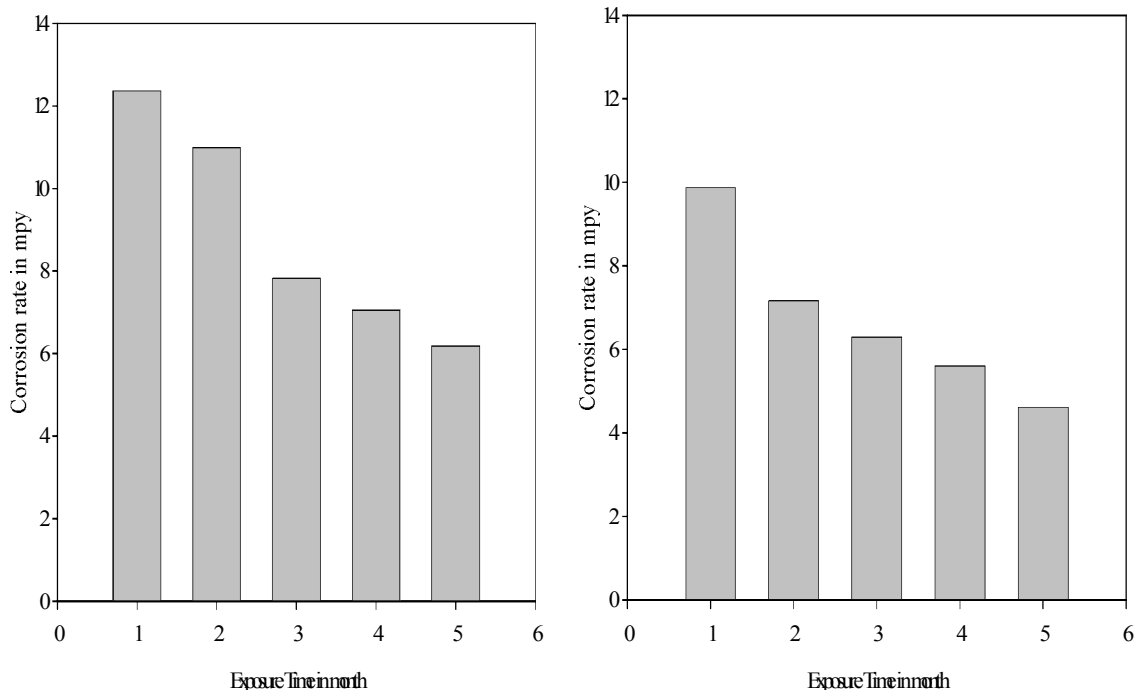
يوضح الشكل (9) مقارنة حديد الصب الرمادي البيرلايتى وحديد الصب الزهري البيرلايتى وحديد الصب الكروي الكرافتي البيرلايتى في وسط التآكل المتمثل بالترابة الرملية . وقد بيّنت النتائج بعد انتهاء فترات التعرض للتأكل زيادة في معدلات التآكل لحديد الصب الرمادي مقارنة بكل من حديد الصب الزهري الكرافتي وحديد الصب الكروي الكرافتي . ويعتقد أن سبب ارتفاع معدلات تآكل حديد الصب الرمادي مقارنة بباقي الأنواع هو نتيجة ارتباط وتدخل شرائح الكرافتي في حديد الصب الرمادي ، والتي تشكّل شبكة مستمرة من شقوق الكرافتي التي تسمح بتغلغل وسط التآكل ، أما في حالة حديد الصب الكروي الكرافتي أو حديد الصب الزهري الكرافتي فإن الكرافتي لا يشكّل شبكة مستمرة والتي تعمل على بقاء وسط التآكل منعزلاً ، مما يقلل من معدل التآكل مقارنة بحديد الصب الرمادي . وهذا يتفق مع ما جاء به الباحث (Laque 1995 ، [4]) عند دراسته تأثير شكل الكرافتي في معدل تآكل حديد الصب . وقد أشار هذا الباحث إلى أن حديد الصب الرمادي يعني من تآكل أشد عنفاً من التآكل الحالى في حديد الصب الكروي الكرافتي ، وعلّ سبب ذلك إلى ارتباط وتدخل شرائح الكرافتي في حديد الصب الرمادي والتي تسبّب أكبر عمق لتغلغل التآكل على طول حدود شرائح الكرافتي .

والشكل (9) يوضح أيضاً مقارنة بين حديد الصب الكروي الكرافتي البيرلايتى وحديد الصب الزهري الكرافتي البيرلايتى ، وقد بيّنت النتائج أن حديد الصب الكروي الكرافتي يتآكل بمعدلات مقاربة أو أعلى نسبياً من معدلات التآكل لحديد الصب الزهري الكرافتي . وربما يعود سبب ذلك إلى وجود تشابه نوعاً ما في شكل الكرافتي ، وهذا قد يجعل معدلات التآكل بينها مقاربة .

#### ب - تأثير التربة الرملية في تآكل حديد الصب الكرافتي

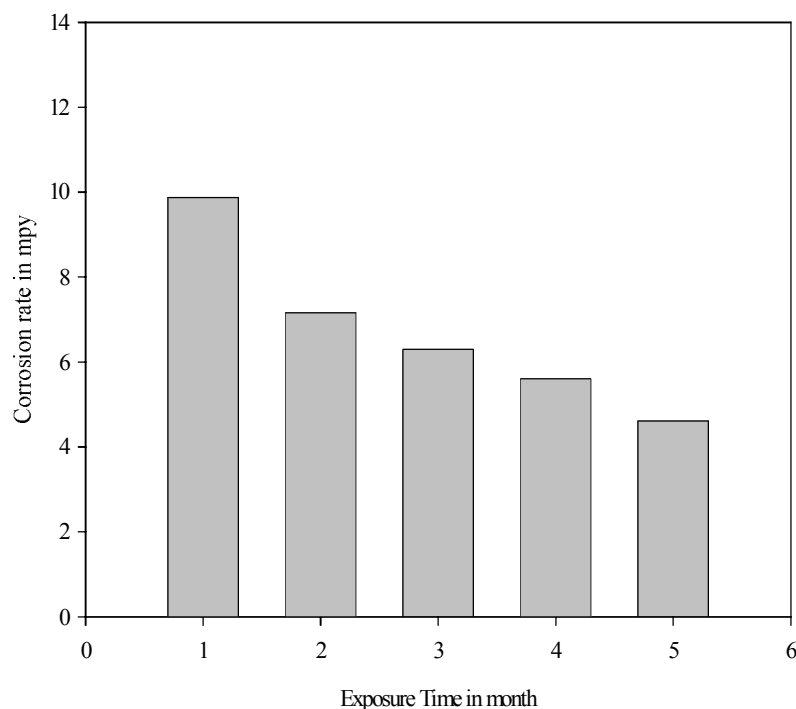
أشارت الأشكال (6) ، (7) ، (8) ، (9) إلى ارتفاع معدلات التآكل لأنواع حديد الصب الكرافتي البيرلايتى عند استخدام التربة الرملية وسطاً للتأكل وذلك مقارنة بدراسة الباحث [12] (Sabhan 2009) التي اجريت لدراسة تآكل حديد الصب الكرافتي في الأوساط المائية والمحيط الجوي والتربة الرملية . ويعود السبب في ارتفاع معدلات التآكل لأنواع حديد الصب الكرافتي أو انخفاض مقاومة تآكلها لعدة عوامل ، منها كون التربة المستخدمة هي التربة الرملية التي تتكون من ( 85% ) رمل ، و ( 10% ) غرين (المادة الرابطة) ، و (5% ) طين ، كما هو موضح في الجدول (4) . وبذلك تسمح بوجود الأوكسجين كونها تحتوي على نسبة عالية من حبيبات الرمل التي تسمح بالتهوية ، وتحتوي على نسبة محدودة نسبياً من الطين والتي تساعد على الاحتفاظ بالماء ، وبمساعدة مادة الغرين الرابطة التي تعمل على تماسك الرمل والطين ، أي الاحتفاظ بالأوكسجين (الهواء) والماء معاً ليكون تأثير الوسط بذلك في تآكل حديد الصب الكرافتي كبيراً بسبب توفر العوامل المحفزة للتأكل ، وهي الماء والأوكسجين ، والجدول (5) يبيّن نسبة المحتوى المائي لهذه التربة ، فضلاً عن

العوامل الأخرى التي لها تأثير مباشر في تآكل التربة ، مثل تركيز الكبريتات والكلوريدات ، ومقدار المقاومة النوعية ، والجدول (3) يوضح التحليل الكيميائي والفيزيائي للترابة المستخدمة . ومن خلال هذا الجدول اتضح بأن قيمة المقاومة النوعية للترابة في بداية الاختبار كانت تساوي (5000 اوم . سم) ، وبهذا فان هذه التربة تعتبر من الأنواع التي تسبب تآكلًا شديداً للمعدن ، وذاك حسب المواصفات القياسية الأمريكية [11] . تشير النتائج في الأشكال المذكورة إلى أن معدلات التآكل لأنواع حديد الصب الكرافتي المستخدمة المتعرضة للتآكل في التربة تقل تدريجياً مع زيادة زمن التعرض للتآكل . ويعود سبب ذلك إلى نقصان المحتوى المائي للترابة خصوصاً مع زيادة درجات الحرارة في فترات الاختبار والتي شملت شهور شباط وأذار ونيسان وأيار وحزيران ، والجدول (5) يؤكّد على نقصان كمية المحتوى المائي في أثناء تلك الفترات . فقد أشار الباحث (Gupta 1979) [13] إلى تأثير المحتوى المائي في شدة التآكل للترابة ، وذكر أن نقصان المحتوى المائي للترابة يؤدي إلى نقصان في معدلات التآكل . حيث كلما قل المحتوى المائي للترابة أدى إلى زيادة المقاومة النوعية لها ، وبالتالي إلى نقصان التوصيلية الكهربائية كما تؤدي إلى نقصان في التفاعل الكهروكيميائي الكلفاني ، وإلى انخفاض في معدلات التآكل . أو ربما قد يعود سبب نقصان معدلات التآكل إلى أيونات الكلوريد التي كانت قيمتها في بداية الاختبار عالية ولكن قيمتها انخفضت في نهاية الاختبار ، كما هو موضح في الجدول (3) ، إذ إن أيونات الكلوريدات هذه تعمل على تقليل المقاومة النوعية للترابة من خلال زيادة التوصيل الكهربائي فيها ليكون الوسط بذلك أشد تاثيراً في أنواع حديد الصب الكرافتي المستخدمة كما تقلل مقاومتها للتآكل من خلال انتشار التفاعل الكهروكيميائي على المساحات السطحية الممكنة . وهذا ينطبق مع التحليل الكيميائي – الفيزيائي للترابة في بداية الاختبار ونهايته في الجدول (3) الذي أشار إلى نقصان التوصيلية الكهربائية والتي زادت المقاومة النوعية في نهاية الاختبار

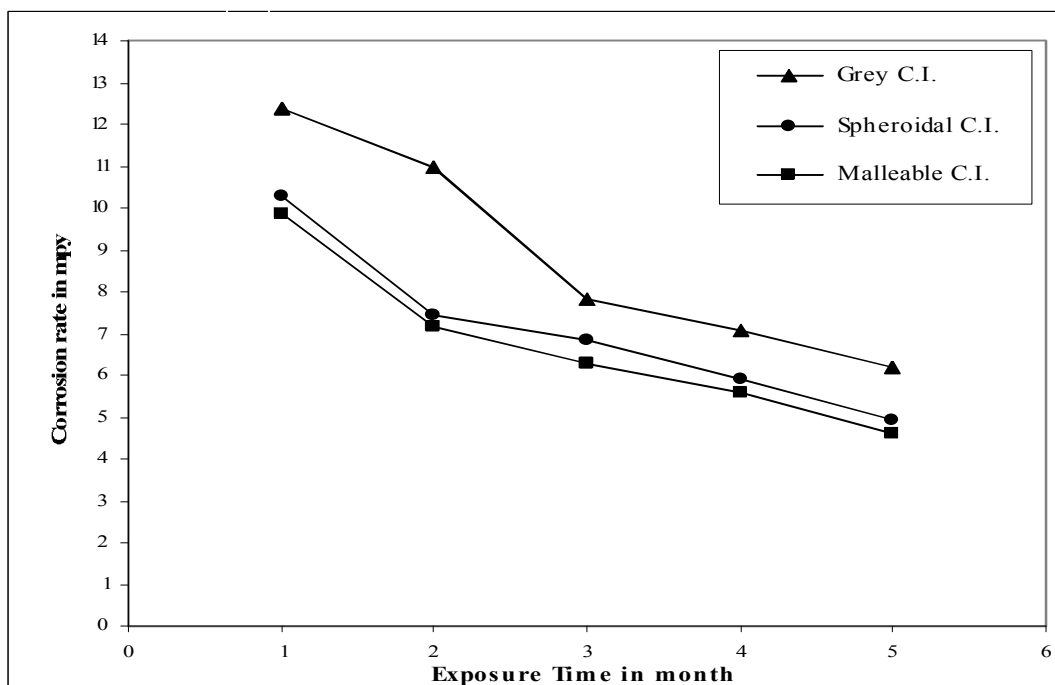


الشكل (6) : معدلات تآكل حديد الصب الرمادي البيرلايتى

الشكل (7) : معدلات تآكل حديد الصب الكروي البيرلايتى البيرلايتى



الشكل (8) : معدلات تآكل حديد الصب الزهري الكرافيت البيرلايتى



الشكل (9): المقارنة بين معدلات التآكل لأنواع حديد الصب الكرافيتي  
البيرلايتى في التربة الرملية

**الاستنتاجات**

في ضوء النتائج التي تم الحصول عليها يمكن استنتاج ما يأتي :-

- 1- تبين أن الكرافيت شكلًا ونوعاً له تأثير واضح في معدلات التآكل من خلال التأثير في البنية المجهرية لحديد الصب الكرافتي . إذ تبين أنه عندما يكون شكل الكرافيت على هيئة شرائح فان معدلات التآكل هي الأعلى ، في حين عندما يكون شكل الكرافيت كروياً فان معدلات التآكل هي أعلى نسبياً مقارنة بالشكل الزهري للكرافيت .
- 2- إن أفضل حديد صب كرافتي مقاوم للتآكل في التربة الرملية هو حديد الصب الزهري الكرافيت ذو التركيب البيرلاتي ، والأسوأ للتآكل هو حديد الصب الرمادي البيرلاتي .
- 3- انخفاض في معدلات التآكل للأ نوع الثلاثة لحديد الصب الكرافتي بزيادة فترة تعرضها للتآكل وبدرجات متفاوتة بين الأنواع الثلاثة وتحت نفس ظروف التآكل .

**المصادر**

- [1] R.Winston R., " Uhlig Corrosion Handbook " , John Wiley & Sons , Inc, 2<sup>nd</sup> Edition , New York , (2000), PP. 3-343 .
- [2] Fontana M.G. , " Corrosion Engineering " , Mc Graw –Hill , 3<sup>rd</sup> Edition , New York , (1986) , PP. 4-173 .
- [3] Fuller A. G. , "Corrosion Resistance of Ductile Iron Pipe " , BCIRA Report 1442 , USA , (1981),PP.2 .
- [4] Laque F. , " The Corrosion Resistance of Ductile Iron " , NACE International , November , (1995), PP.1 .
- [5] Owate I. & Arwiri G. , " Impact Of Environmental Conditions on Sub – Surface Storage Tanks (part I) " , Applied Sciences & Environmental Management , Vol. 6 , NO. 2 , (2002), PP. 79-83 .
- [6] Ceki H. " Physiochemical Characteristics of Controlled Low Strength Materials Influencing The Electrochemical Performance and Service Life of Metallic Materials " , Ph. D. , Thesis , University of Texas A & M , Civil Engineering , (2005) , PP. 84 .
- [7] Janina M.R. , " Effect of Specimen Preparation on Evaluation of Cast Iron Microstructures " , Materials Characterization , Vol. 54 , (2005) , PP. 287-304 .
- [8] ASTM Designation : G<sub>1</sub>-90 , " Standard Practice for Preparing , Cleaning , and Evaluating corrosion Test Specimens " , 100 Bar Harbor Drive , West Conshohocken , PA 19428-2959 , United States , (1999) , PP.5 .
- [9] Cao X. & Xu C. C. , " Effect of Chloride on The Atmospheric Corrosion of Simulated Artifact Iron in NO<sub>3</sub> – Bearing Pollutant Environment " , ACTA METALLURGICA SINICA ENGLISH LETTERS , Vol. 19 , NO. 1 ,(2006), PP. 34-42 .
- [10] Ted A. , " Fabrication and Damping Behavior of Particulate BaTiO<sub>3</sub> Ceramic Reinforced Copper Matrix Composites " , M.Sc. ,Thesis ,University of Virginia Polytechnic Institute and State , USA , (2004) , PP. 45-46.
- [11] Lawrence J. Korb," ASM Handbook " , Rockwell International and David L Olson , Colorado School of Mines , 9<sup>th</sup> Edition , USA , (1992) , PP. 112 -336.
- [12] Sabhan H. A. , " Corrosion Behaviour Investigation of Graphite Containing Cast Irons as Composite-Material Using Local Selected Corrosion Environments " , M.Sc. ,Thesis ,University of Mosul , (2009) , PP.72
- [13] Gupta S.K. , "The Critical Soil Moisture Content in The Underground Corrosion of Mild Steel " , Corrosion Science , Vol. 19, (1979) , PP. 171-178.